

入法，通过肠腺开口使核酸进入肠腺腔内作用于肠腺细胞，此实验模型可在活体内较为直接地研究核酸（或其它药物）对受照射肠腺的存活率的影响，且用量甚微。而肠腺的存活实质上反映了小肠干细胞的存活。

图 1 和表 1 表明，小鼠小肠 DNA，小牛胸腺 DNA， λ 噬菌体 DNA/EcoRI 及 pGEM-3zf(+) 质粒 DNA/HaeIII 都能提高受照射小鼠的肠腺存活率，说明不同来源的 DNA 都有疗效，这同文献上在其它实验对象所得到的结果一致。

由图 1 可知，随着小肠 DNA 和胸腺 DNA 注入剂量的增加，肠腺存活率也随之增高，达到峰值后，则随注入剂量的进一步增加而降低，呈钟形曲线。此结果表明，DNA 对照射后肠腺细胞的有益作用有一最适的剂量值。

一般认为，DNA 的分子量越大，对急性放射损伤的疗效越好，但也有不同的意见^[6,8]。从图 3 可知，小肠 DNA 经热变性双链解链后，其活性并未降低。另一方面，表 1 和图 1 说明：小肠 DNA，其分子大小在 23 000—4 900 bp 之间，注入剂量为 5 μ g； λ DNA 经 EcoRI 酶切成 6 个片段（21226, 7421, 5804, 5643, 4878 及 3530bp），注入剂量为 5 μ g；pGEM-3zf(+) DNA 经 HaeIII 酶切成 13 个片段（587, 458, 434, 323, 314, 289, 267, 174, 142, 102, 80, 18 及 11bp），注入剂量为 2.5 μ g，而后的肠腺存活率较前两者为高（ $P < 0.01$ ）。由于此实验并不是在等分子数目水平上所做的比较，因此还不能得出 DNA 的分子大小与其生物活性之间

具有依赖性的判断。但从中可以看出，小至数百个碱基对的 DNA 片段仍保持着提高肠腺存活率的活性。因此，我们在肠腺细胞所得到的实验结果，似并不支持 DNA 分子量越大效果越好的观点。至于最适的分子大小究竟是多少，当降解至单核苷酸或甚至更小组分时是否仍保持其活性，这是一个有兴趣的涉及核酸作用机制的问题，我们正在肠腺细胞上对此问题继续加以研究。

承智刚博士对原稿提出宝贵意见，陈萍同志在技术上予以协助，特此致谢。

参 考 文 献

- 周元恺, 韩士臣, 曾桂英. 军事医学科学院院刊, 1987; (2):88
- 曾桂英, 韩士臣, 刘健. 辐射研究与辐射工艺学报, 1990; 8(4):228
- 王矫, 周元恺. 军事医学科学院院刊, 1990; 14(3):174
- 周元恺, 沈世仁. 生物化学与生物物理进展, 1979; (2):70
- Petrovic D. In: Ebert M et al. eds, *Current topics in radiation research*, Amsterdam: North-Holland Publishing Company, 1968: 251
- 陈家佩. 国外军事医学资料第 2 分册 1973; (2):26
- Кудряшев В.Д., Гумянюк Л.И., Цыганков А.П. *Радиовиология*, 1978; 18(1):92
- Petrovic D, Ferle-Vidovic A, Habazin V et al. *Int J Radiat Biol*, 1970; 18(3):243

真核 RNA 聚合酶 II 无细胞体外转录体系的构建及其应用

王永俊* 琦祖和 沈璐璐

（中国医学科学院基础医学研究所，北京 100005）

关键词 全细胞提取物（WCE），无细胞转录体系，IL-2R α 基因

近年来，研究真核基因的转录调控已成为分子生物学的热点之一。为了研究 DNA 元件或蛋白质因子在转录过程中的作用，建立无细胞体外转录体系是十分必要的。到目前为止，发现至少有六种必需的蛋白质因子参与 RNA 聚合酶 II 的起始转录^[1]。绝大部分 RNA 聚合酶 II 的无细胞转录体系来自哺乳动物^[2]或果蝇^[3]的组织培养细胞的提取物。本文研究了人的白介素-2 受体 α 链基因（IL-2R α ）在 HeLa 细胞提取物中的转录，所建立的体系也是研究其它真核基因的

表达调控之重要手段。

1 材 料 与 方 法

质粒 pJSG5, pD16 均为本组构建。HeLa 细胞系由本所生物物理室惠赠。限制性内切酶为本所内切

* 现工作单位：中国人民解放军空军总医院分子生物学研究室，北京 100036。

收稿日期：1991-10-09 修回日期：1992-03-02

酶组产品。T4 DNA 连接酶、DNA 聚合酶 Klenow 片段、RNase 抑制剂购自华美生物工程公司。 $[\alpha-^{32}P]$ GTP ($>3000 \text{ Ci}/\text{mmol}$) 为美国 NEN 公司产品。丙烯酰胺、焦碳酸二乙酯 (DEPC)、十二烷基硫酸钠 (SDS)、羟乙基哌嗪乙烷磺酸 (HEPES)、苯甲基磺酰氟 (PMSF) 为 Sigma 公司产品。ATP, CTP, GTP, UTP, α -鹅膏蕈碱 (α -amanitin), 磷酸肌酸 (CP) 为 Boehringer Mannheim 公司产品。放线菌素 D, 溴乙锭为 Fluka 公司产品。RPMI 1640 为 GIBCO/BRL 公司产品。其它试剂均为国产分析纯试剂，所有溶液均用灭菌双蒸水配制。

1.1 转录模板的构建

质粒 pJSG5 中的 IL-2R α cDNA 插入质粒 pD16 中的上游调控区下游构成质粒 pYJ12, 如图 1 所示。

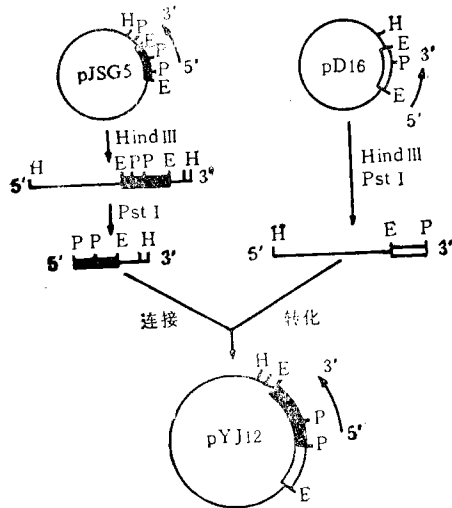


图 1 质粒 pYJ12 构建图

图中黑框是 IL-2R α 基因的 cDNA，白框是 IL-2R α 的调控区。

1.2 细胞培养及全细胞提取物的制备

HeLa 细胞贴满瓶壁后用胰酶 EDTA 消化，在 4°C, 2000 × g 离心收集细胞，用 PBS (每升水中含 NaCl 8g, KCl 0.2g, Na₂HPO₄ · H₂O 1.56g, KH₂PO₄ 0.2g) 洗两次后，记录细胞压积 (PCV)。全细胞提取物的制备按照 Manley^[4] 的方法进行，但是在透析液中加入终浓为 1m mol/L 的 PMSF。

1.3 体外转录实验及转录产物的电泳分析

参照 Manley^[4] 的方法，作如下的修改：为抑制蛋白酶和 RNase 的活性，在 20 μl 转录体系中加入蛋白酶抑制剂 PMSF (0.5 mmol/L) 和 RNase 抑制剂 RNasin (20—40U)。ATP, CTP 及 UTP 各为 0.5 mmol/L。 $[\alpha-^{32}P]$ GTP 的比活性大于 3000Ci/mmol。 α -鹅膏蕈碱和放线菌素 D 的终浓分别为 1 $\mu\text{g}/\text{ml}$ 和

200 $\mu\text{g}/\text{ml}$ 。30°C 保温 60 min 后，加入 180 μl 反应终止液 (10mmol/L Tris-HCl pH7.6, 1% SDS, 10mmol/L EDTA, 250 $\mu\text{g}/\text{ml}$ 酵母 tRNA)。先后经酚-氯仿、氯仿-异戊醇抽提及 NaAc/乙醇沉淀后将转录产物溶解在 20 μl 载样缓冲液 (50% 甲醛, 50% H₂O, 0.01% 二甲苯胺, 0.01% 溴酚蓝) 中，再加入 5 μl 5×TBE (1×TBE: 89mmol/L Tris, 89mmol/L 硼酸, 2mmol/L EDTA, pH8.3)，100°C 变性 5min，上样于含 8mol/L 尿素的 4.5% 聚丙烯酰胺变性胶进行电泳，待溴酚蓝带到达胶下端，停止电泳，干胶器加热抽干，用增感屏 -80°C 自显影 48—96h，观察结果。

2 结果与讨论

2.1 IL-2R α 基因转录模板的构建

质粒 pYJ12 中含有 IL-2R α 基因序列从 -350 至 +937，为避免质粒载体上原核启动子 SP6 和 T7 对转录的干扰，用限制性内切酶 EcoRI 将 IL-2R α 基因从 pYJ12 质粒上切下分离去除载体后作为转录的模板。IL-2R α 基因调控区示意图参见文献[5]。

2.2 HeLa 细胞全细胞提取物的制备及 IL-2R α 基因的体外转录

本实验从约 6×10^3 个对数生长期的 HeLa 细胞得到的 WCE 蛋白含量一般在 5—10mg/ml 范围内。转录结果见图 2。通过采取：a. 改变模板的长度，可转录出不同长度的产物；b. 用放线菌素 D 抑制模板的转录活性；c. 用 α -鹅膏蕈碱抑制 RNA 聚合酶的

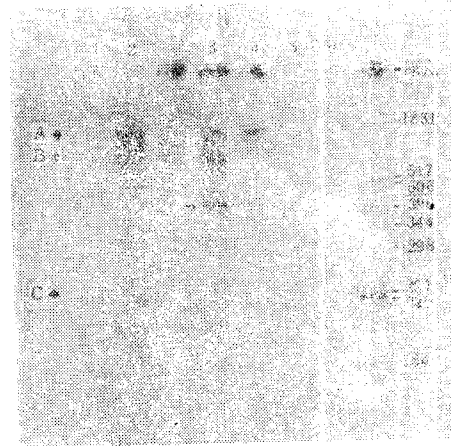


图 2 IL-2R α 基因体外转录产物的电泳分析

在标准反应体系中分别含有：1. 无模板 DNA；2—6 各管均含 0.75 μg 模板 DNA；3. Sst I 酶切模板；4. 1 $\mu\text{g}/\text{ml}$ α -鹅膏蕈碱；5. 200 $\mu\text{g}/\text{ml}$ 放线菌素 D；6. 反应 1h 后用 20 μg RNase A 水解 30min；7. pBR322/Hinf I 分子量标准(右侧数字为 bp 数)

活性等处理，以证实片段确系 RNA 聚合酶 II 作用下以外源 DNA 为模板的转录产物。

从图 2 可以看出，B 带能够被 α -鹅膏蕈碱完全抑

制，而且对 RNase A 敏感。再从放线菌素 D 的对照看，B 带（908±20 bp）确系以 IL-2R α DNA 为模板的转录产物。A 带可能是模板的标记产物，因为它不仅不能被 α -鹅膏蕈碱抑制，而且不被 RNase A 水解。由于在 WCE 中 RNA 聚合酶 II 可能从模板的 5' 末端和缺口处进行转录^[4]，因此 C 带可能是从模板的缺口处的转录产物。

2.3 体外转录的模板浓度效应

如图 3 所示，当模板量为 1 μ g (50 μ g/ml) 时，转录产物最多。如果低于 0.25 μ g 或高至 1.25 μ g，几乎没有特异转录产物。我们还观察到模板浓度与蛋白量之间呈正相关（结果未列出）。如果蛋白量过高，可能导致非特异蛋白结合于模板的启动子部位，从而影响转录起始复合物的形成；相反，如果模板浓度过高，则过量的 DNA 分子可能非特异地结合某些转录因子，从而影响形成有效的起始复合物。此外，尽管聚合酶 II 及其相应的转录辅助因子普遍存在于各种细胞中，但不同细胞的 WCE 可能含有完全不同的特异性调控因子或衔接子^[6]，同时，各类基因启动子结构也有差异，它们与各种主要蛋白质因子的亲和力不一样，所以二者之间的比例并不是固定的。Manley^[4] 报道，当模板长度小于 300bp 时，应严格控制 DNA 与蛋白的最适浓度。

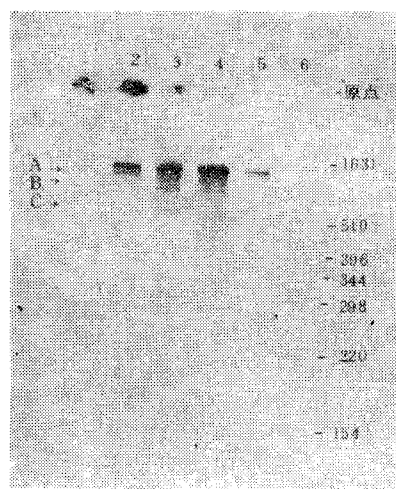


图 3 体外转录的 DNA 模板浓度效应

在标准反应体系中，从 1 至 5 各含 DNA 模板为 0.25 μ g, 0.50 μ g, 0.75 μ g, 1.00 μ g, 1.25 μ g。分子量标准是 pBR322/Hinf I (右侧数字为 bp 数)

2.4 体外转录反应的时间和温度效应

如图 4 所示，转录产物在 2h 内表现出线性动力学效应，而且特异转录产物在反应进行 15min 时即开始出现。如图 5 所示，当反应升高到 37°C 时，则不能获得特异转录产物。此结果与 Manley^[4] 的报道一致。另外，由于体外转录的温度比体内低 7°C，所以催化效

率也较低，这可能是体外转录反应可以持续 2h 的部分原因。

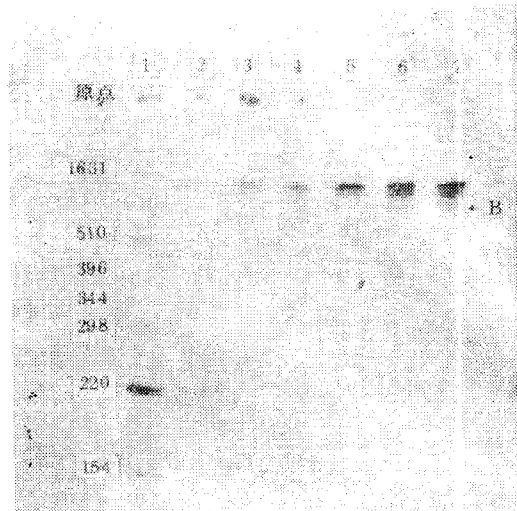


图 4 体外转录的时间效应

图中 2—7 的反应时间为 15, 30, 45, 60, 90 和 120 min，分子量标准是 pBR322/Hinf I (左侧数字为 bp 数)

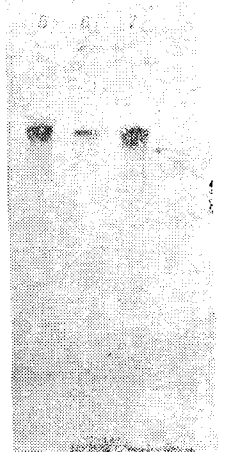


图 5 体外转录的温度效应

反应温度分别为 30°C (5, 6) 及 37°C (7)。6 中含 α -鹅膏蕈碱。箭头所指为特异转录产物

综上所述，我们所建立的无细胞体系能够正确起始人 IL-2R α 链基因的转录，而且在 30°C 转录反应可以持续至少 2h，反应体系中模板 DNA 的最适浓度为 37.5 μ g/ml。

参 考 文 献

- Alan G S, Roberto W. Promoter specificity and production of RNA polymerase II transcription. *FASEB J.* 1989; 3: 1723
- Heintz N, Roeder R G. Transcription of eukaryotic genes in soluble cell-free system. In: Setlow J K et al.

- eds, *Genetic engineering* 4, New York: Plenum press, 1982: 57
- 3 Parker C S, Topol J. A *drosophila* RNA polymerase II transcription factor contains a promoter-region-specific DNA-binding activity. *Cell*, 1984; 36: 357
- 4 Manley J L, Fire A, Samuels M et al. *In vitro* transcription whole-cell extract. *Methods in Enzymology*, 1983; 101: 568
- 5 Ernst B, John W L, Miriam S et al. The same inducible nuclear proteins regulates mitogen activation of both the interleukin-2 receptor alpha gene and type I HIV. *Cell*, 1988; 53: 827
- 6 Lewin B. Commitment and activation at pol II promoters: a tail of protein-protein interactions. *Cell*, 1990; 61(7): 1161

重组蛋白 G Fc 结合区单结构域的纯化及理化性质*

王园园 蔡仕英 姚志建

(军事医学科学院基础医学研究所, 北京 100850)

关键词 蛋白 G, 重组蛋白 G Fc 结合区, PGFB-2 肽

蛋白 G 是存在于链球菌 C 群和 G 群胞膜上的一种分子量为 65kD 的膜蛋白, 完整的蛋白 G 分子主要由四部分组成, 其中第三部分能与许多动物的 IgG Fc 段特异结合^[1]。近年来, 蛋白 G 的应用研究已展示出广阔前景^[2-4], 它一方面可与多种标记物(如酶、放射性同位素、胶体金等)连接, 用于免疫分析; 另一方面, 可用作纯化单克隆抗体及多克隆抗体的亲和配基。但是有关蛋白 G 的空间结构及其与 IgG Fc 的结合机制均了解得很少, 我们首次利用 PCR 技术扩增出蛋白 G 中 IgG Fc 结合区单结构域基因片段^[5], 并在大肠杆菌中高效表达该多肽(简称 PGFB-2 肽), 由于该多肽分子量较小, 又具有与 IgG 结合的活性, 因此有利于用二维核磁、圆二色散等方法对其结构进行分析, 从而揭示出蛋白 G 与 IgG Fc 段结合的分子机制。本文就大肠杆菌表达的 PGFB-2 肽的纯化及理化性质进行了研究, 为蛋白 G 的应用和进行结构与功能关系的分析提供了材料。

1 材料与方法

1.1 材料、试剂

大肠杆菌 RR1 (pBG2) 工程菌由本室构建^[5,11]其表达的 PGFB-2 肽含天然蛋白 G 的 C3 结构域, 并在其 C 端融合了载体质粒的 17 个氨基酸。Sephadex G50 为 Pharmacia 公司产品, 辣根过氧化物酶标的人 IgG 由本室卢秀桂老师提供。氨基酸序列分析试剂为进口产品, 其它常规试剂均为国产。

1.2 分析技术

1.2.1 以牛血清白蛋白为标准, 用染料结合法^[6]

测定蛋白质含量。

1.2.2 酶联免疫法测 PGFB-2 肽与 IgG 结合活性。将 PGFB-2 肽包被到酶联板上, 然后用 1% 牛血清白蛋白封闭, 再加酶标 IgG, 最后用邻苯二胺作底物显色, 测 A_{490} , P/N 值大于 2.1 为阳性。

1.2.3 聚丙烯酰胺凝胶电泳(简称 PAGE)^[7]鉴定蛋白质纯度。电极缓冲液含 0.25mol/L Tris, 1.92 mol/L 甘氨酸 pH8.3。

1.2.4 用十二烷基硫酸钠 (SDS)-PAGE^[7] 及蛋白质印迹 (Western blot) 测定蛋白质分子量^[8], 用等电聚焦电泳 (IEF)^[9] 测定蛋白质的等电点。

1.2.5 用 Edmann 降解法^[10] 测定氨基酸顺序。

1.3 纯化过程

1.3.1 细胞裂解液上清的制备

RR1 (pBG2) 工程菌 30℃ 培养过夜, 次日 5% 扩增培养至 $A_{600} = 0.5$ 左右, 提高温度至 42℃, 继续培养 4h, 诱导 PGFB-2 肽的表达, 然后收集菌体, 超声破碎, 12000g 离心 30min 取上清液。

1.3.2 Sephadex G50 柱层析

制备 Sephadex G50 层析柱 (2cm × 74cm), 用 0.01mol/L 磷酸缓冲液 pH7.4 平衡, 上样后以平衡缓冲液洗脱, 紫外检测, 部分收集器收集样品。

2 结果与讨论

2.1 纯化结果

将大肠杆菌诱导表达的 PGFB-2 肽裂解液上清

* 属国家自然科学基金资助课题的一部分。

收稿日期: 1991-10-09 修回日期: 1992-03-23